

塩基性平爐鋼滓の反射顕微鏡組織による判定法

(昭和 27 年 11 月本會講演大會に於て講演)

芥川 武* 堀川 一男**

ESTIMATION OF BASIC OPEN HEARTH SLAG COMPOSITION BY ITS REFLECTING MICROSCOPIC STRUCTURE

Takeshi Akutagawa, Dr. Eng. and Kazuo Horikawa

Synopsis:

Making research on the reflecting microscopic structures on the cross section of slag pancake sampled at several stages of basic O-H steel refining, the authors have made an inspection on the relation between the structure and the mineralogical components of slag. As the results, structure could be classified into four groups (I. olivine, II. merwinite, III. dicalcium-silicate, IV. tricalcium-silicate) according to its basicity. And it was found that in each group, structure differed according to the differences in basicity and other components. Therefore, it was confirmed that if a standard sample was prepared in advance, the components of non-determined sample could be presumed by comparing with it. Basicity could be estimated within an error of 0.1 or 0.2 respectively at under or above 2.5 Vp (=CaO/SiO₂+P₂O₅) and estimation of FeO, MnO and P₂O₅ was also possible to some extent. The time required in determination being within 10 minutes and an intricate apparatus or skill being not required. Thus so this method could be applied to an operation plant with confidence and the improvement of accuracy in estimation could be expected by applying it together with pancake test.

I. 緒 言

塩基性平爐の鋼滓を岩石學的に観察することによつてその化學組成を判定し得ることは T. M. Ferguson¹⁾, W. J. McCaughey²⁾, E. C. Smith³⁾ 其他^{4)~7)} によつて發表されているが、此の方法は試料の薄片を作製するのに技術と時間を必要とするのが缺點である。然し松浦氏⁸⁾や M. Tonnenbaum⁹⁾等によつて、反射顕微鏡組織を観察することによつても岩石學的方法に近い精度の得られることが明にされ、其後反射顕微鏡組織による塩基性平爐鋼滓の判定に關して二三の研究が發表されている^{10)~13)}。此の方法は比較的短時間内にて判定が出來て、而も試料の作製並に判定に技術を必要としないから現場的に應用する上で實用の價値があると考えられるので本法について検討することとした。

II. 試 験 方 法

塩基性平爐の製鋼作業中、精錬の各期に爐内よりスプーンにて熔滓を汲取り徑約 75mm 高さ約 10mm の軟銅板製鑄型に鑄込み、所謂パンケーキとなしてその破断

面を金属顕微鏡によつて検査した。顕微鏡組織の検査方法は、金属の顕微鏡試料の作製要領に準じてパンケーキの破断面をグラインダー、エメリー紙、及びラシャにて研磨した後第1表に示す腐蝕液にて 3~5 秒腐蝕して中央部*** を検鏡した。ペーパー仕上の最後 (000 又は

第1表 鋼滓の腐蝕液

| 塩基度 V | 腐蝕液 |
|---------|---------------------------|
| <1.5 | 1% HCl 水溶液 |
| 1.6~2.4 | 1% HNO ₃ 水溶液 |
| >2.5 | 5% NH ₄ Cl 水溶液 |

0000) を少し入念に行つて光澤が出る位にすればラシャ磨きは比較的短時間で完了する。現場作業として行う場合の判定所要時間は第2表に示す如く10分以内である。

以上による顕微鏡組織の状況を、同一試料について行

* 東京大學工學部助教授 工博

** 日本钢管、川鐵技術研究所

*** 凝固表面に近い層は時に微細な共晶状を呈しているので避けた。表面から 2~3mm 内に入れれば中央部と變らない。

第2表 判定所要時間

| 作業 | 所要時間 |
|---------------|------|
| 試料採取(パーケーク判定) | 2.0分 |
| グラインダー研磨 | 1.5分 |
| ペーパー研磨 | 2.5分 |
| ラシャ研磨 | 1.5分 |
| 腐蝕及び乾燥 | 0.5分 |
| 検査鏡 | 1.0分 |
| | 約7分 |

つた化學分析の結果と比較検討したが、調査試料の總數は150個に及んだ。

銅津の鹽基度としては P_2O_5 を考慮して一應 $V_p = CaO/SiO_2 + P_2O_5$ をとることとしたが、從來 $V = CaO/SiO_2$ に慣れているので、Vについても觸れてある。

III. 反射顯微鏡組織と成分の關係

調査の結果銅津の反射顯微鏡組織は鹽基度の低いものから高いものに移行するにつれて次第に變化するが、 FeO 、 MnO 其他の含有成分によつても影響を受けることが明かになつた。従つて假令鹽基度が年々でも個々の試料の組織には相違が認められるので、總ての場合について細部に亘る組織状況を示すことは困難である。そこで代表例だけを寫眞で示すこととした。代表として擇んだ寫眞の試料の化學成分は第3表に示す通りである。

順序として先づ鹽基度と組織の關係につき検討し、次に其他の成分の影響について調査することとする。

(1) 組織と鹽基度の關係

鹽基度以外の成分としては MnO が比較的顯著に影響するように思われたので、 MnO 10% 内外のものについて検討を行つた。検討の結果顯微鏡組織は鹽基度によつ

て次の如く四種類に大別することが出來た。

i) 第I類 $V_p < 1.25$ $V < 1.45$

鹽基度が此の範囲内にある銅津の組織は主としてオリビン系 ($CaO \cdot RO \cdot SiO_2$, R=Fe, Mn 又は Mg) の紡錘状組織から成り、白色金糸状のマグネタイト (Fe_3O_4 を主成分とする磁性酸化物) が散在している。

鹽基度 V_p が1以下 ($V < 1.15$) の比較的酸性の場合には寫眞1に示すように基地のオリビン系紡錘状組織は幅が廣く互に平行に並んでいる。所々に析出している白色點状の組織はマグネタイトである。

鹽基度 V_p が1以上になると寫眞2のように、オリビン晶は細く且つ方向性が不明瞭になる。寫眞2で白色樹枝状の組織はマグネタイトである。

要するに第I類銅津の特徴はオリビン系の組織が主體を成していることであつて、Olivin系 slag と云うことが出来る。

ii) 第II類 $V_p 1.30 \sim 1.85$ $V 1.50 \sim 2.20$

鹽基度 V_p が1.3を超えると灰色針状のメルビナイト ($3CaO \cdot RO \cdot 2SiO_2$, R=Fe, Mn 又は Mg) と、メルビナイトとマグネタイトから成る共晶組織が現れる。

鹽基度の上昇に伴い、ダイカルシウム、シリケート ($2CaO \cdot SiO_2$) の暗色粒状組織と、 $2CaO \cdot SiO_2$ とマグネタイトから成るバラ花咲共晶も現われて来る。第III類に於てはマグネタイトは細かい點状として散在し、第I類に於けるように大きく發達して現われない。

寫眞3は第II類でも鹽基度の低い場合の組織であつて灰色針状のメルビナイトと暗黒色で稍細長い粒状の $2CaO \cdot SiO_2$ が $2CaO \cdot SiO_2$ 、マグネタイト等から成るバ

第3表 反射顯微鏡組織試料の化學成分

| 寫眞 No. | 化學成分 (%) | | | | | | | | | 備考 |
|-----------|----------|------|-------|------------------|-------|--------------------------------|-------|-------|--------------------------------|------|
| | Vp | V | CaO | SiO ₂ | FeO | Fe ₂ O ₃ | MnO | MgO | Al ₂ O ₃ | |
| 1 | 0.98 | 1.07 | 25.31 | 23.61 | 18.15 | 1.87 | 11.88 | 5.25 | 3.86 | 2.25 |
| 2 | 1.13 | 1.32 | 27.02 | 20.49 | 18.62 | 3.59 | 12.07 | 4.13 | 3.17 | 3.40 |
| 3 | 1.32 | 1.53 | 31.49 | 20.63 | 16.00 | 1.53 | 19.44 | 2.70 | 2.17 | 3.17 |
| 4 | 1.61 | 1.99 | 37.61 | 18.85 | 13.44 | 2.14 | 14.80 | 2.48 | 2.74 | 4.42 |
| 5 | 2.40 | 2.82 | 41.90 | 14.86 | 19.09 | 3.96 | 9.76 | 4.38 | 2.17 | 2.56 |
| 6 | 3.17 | 3.95 | 43.28 | 10.95 | 18.15 | 4.29 | 8.96 | 7.86 | 2.59 | 2.72 |
| 7 | 3.70 | 4.46 | 46.23 | 10.36 | 15.55 | 5.73 | 4.66 | 11.53 | 2.63 | 1.85 |
| 8 | 4.22 | 5.14 | 48.91 | 9.51 | 14.91 | 4.32 | 6.58 | 9.02 | 2.57 | 2.08 |
| 9 | 0.98 | 1.32 | 22.33 | 16.97 | 21.64 | 1.84 | 22.51 | 3.08 | 2.80 | 5.69 |
| 10 | 1.63 | 2.18 | 31.20 | 14.42 | 16.53 | 4.50 | 19.22 | 3.31 | 3.18 | 4.67 |
| 11 | 2.15 | 2.80 | 38.15 | 13.70 | 15.59 | 3.57 | 15.26 | 4.59 | 2.26 | 4.05 |
| 12 | 4.13 | 4.84 | 34.23 | 7.07 | 26.03 | 12.80 | 3.78 | 11.22 | 1.73 | 1.21 |

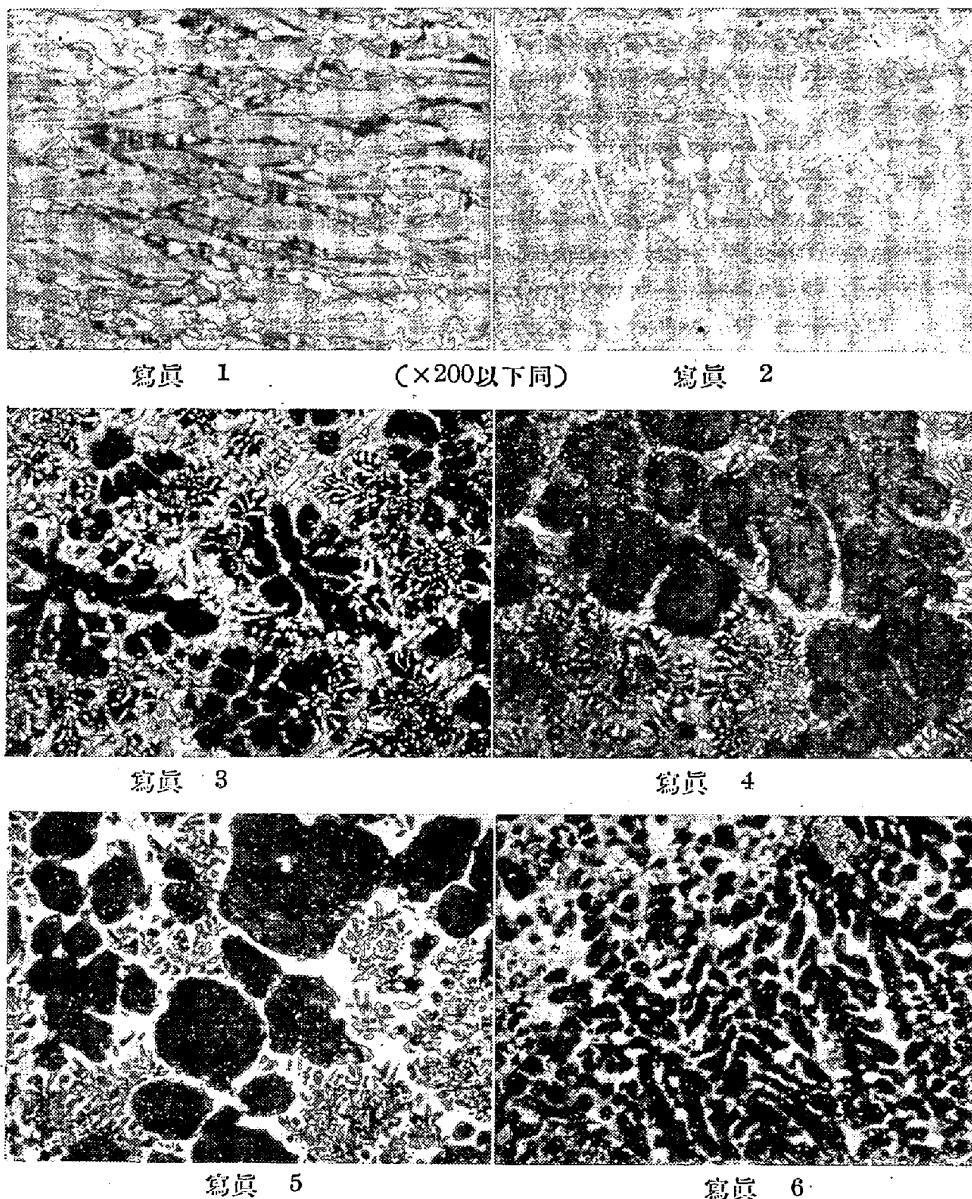
鹽基度に伴う組織の變化

I類津に及ぼす MnO 、 FeO の影響

II類津に及ぼす MnO 、 FeO の影響

III類津に及ぼす MnO 、 FeO の影響

IV類津に及ぼす FeO 、 Fe_2O_3 の影響



テ花状共晶組織の中に析出しているのが認められる。

写真4は比較的鹽基度の高い側の組織であつて、 $2\text{CaO}\cdot\text{SiO}_2$ とマグネタイトから成るバラ花状共晶の基地に、粒状の $2\text{CaO}\cdot\text{SiO}_2$ と灰色針状のメルビナイトの析出しているのが認められる。

第II類では、鹽基度の低い側ではメルビナイトが多くなるにつれて次第にメルビナイトは減少して、 $2\text{CaO}\cdot\text{SiO}_2$ が増加する。又マグネタイトの形は細長いものから次第に小さい點状に變つていく。

要するに第II類鋼滓の特徴はメルビナイトの存在することであつて、結局 Merwinite 系 slag と云うことが出来る。

iii) 第III類 $V_p 1\cdot90 \sim 2\cdot60$ $V 2\cdot25 \sim 3\cdot00$

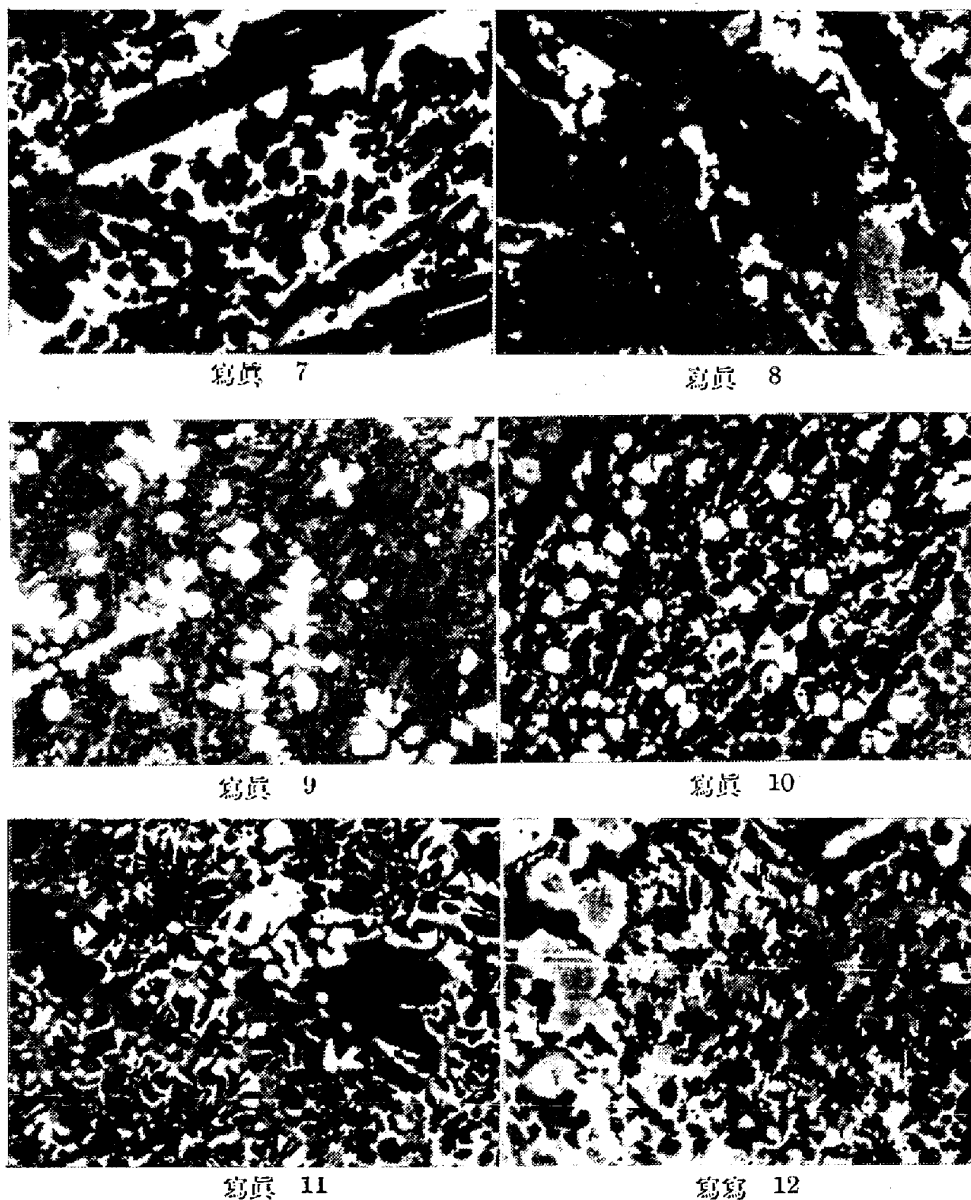
鹽基度が此の範囲にある組織では暗色粒状で 5% NH_4Cl 水溶液で腐蝕した場合に劈開面が明瞭に現われ

る $2\text{CaO}\cdot\text{SiO}_2$ が主體を成し、基地は $2\text{CaO}\cdot\text{SiO}_2$ 、マグネタイト及びフェライト(鐵酸石灰 $2\text{CaO}\cdot\text{Fe}_2\text{O}_3$)から成る細かい錐葉状の共晶である。フェライトは $1\% \text{HNO}_3$ 水溶液で腐蝕すると灰色を呈するので白色のマグネタイトと區別することが出来る。

第III類ではメルビナイトは完全に消失してその痕跡も認めることは出来ない。 $2\text{CaO}\cdot\text{SiO}_2$ 粒状晶の大きさに對しては含有成分の影響もあるが、鋼滓温度の比較的低い場合や、石灰投入後比較的短時間内に試料を採取した場合等に大きく析出するようである。

写真5は第III類の代表的な組織であつて、暗色粒状で劈開面を有する $2\text{CaO}\cdot\text{SiO}_2$ が錐葉状の共晶組織の基地に析出しているのが認められる。

鹽基度が高くなると再び $2\text{CaO}\cdot\text{SiO}_2$ の粒状晶は地に溶込んで羊齒葉状乃至樹枝状の共晶組織に近いものとな



る。

尙、MgO の高い場合（約10%以上）には多角形をしたペリクレーズ(Periclase)の結晶が明瞭に現われる*。

要するに第Ⅲ類鋼渣の特徴は $2\text{CaO}\cdot\text{SiO}_2$ が主體を成していることであつて di-calcium-silicate 系 slag と云うことが出来る。

iv) 第Ⅳ類 $\text{Vp} > 2.65$ $\text{V} > 3.10$

鹽基度 Vp が 2.6 以上に高くなると写真 6 のように最早 $2\text{CaO}\cdot\text{SiO}_2$ の粒状品は認められないで、細長い羊歯葉状の共晶組織として現われ、これにフェラライトとマグネタイトが析出した組織を示す。

更に鹽基度が上昇して Vp が 2.8 以上 ($\text{V} > 3.3$) に

なると黒色で短冊状乃至針状のトリカルシウム、シリケート ($3\text{CaO}\cdot\text{SiO}_2$) が現われる*。

写真 7 は $3\text{CaO}\cdot\text{SiO}_2$ の短冊品を示したものである。基地の丸味を帯びた暗色の點状部分は $2\text{CaO}\cdot\text{SiO}_2$ で、灰色部はフェラライト、白色部はマグネタイトである。又 MgO が高いために左端に多角形のペリクレーズが認められる。

更に鹽基度が高くなつて Vp が 4.1 を超すと ($\text{V} > 4.8$) 写真 8 に示すように屢々未溶解の石灰が塊状に析出している**。地に溶込んだ共晶状 $2\text{CaO}\cdot\text{SiC}_2$ の形狀

* 後述するように、鹽基度がこの範囲にあつても他の成分の影響によつて短冊品又は針状品の $3\text{CaO}\cdot\text{SiO}_2$ を現わさざり共晶組織を示すこともある。

** 鹽基度が低い場合にも石灰投入後比較的短時間内に採取した試料には認められることがある。

* ペリクレーズは第Ⅰ類を除き第Ⅱ類でもにも認められることがある。

は鹽基度の上昇に伴つて丸味を失い、次第に尖つて来る傾向がある。

要するに第Ⅳ類鋼滓の特徴は $3\text{CaO}\cdot\text{SiO}_2$ の現わることであつて、tri-calcium-silicate 系 slag と云うことが出来る。

(2) 組織と FeO , MnO , P_2O_5 等の関係

FeO , MnO , P_2O_5 等が顯微鏡組織に及ぼす影響は鹽基度によつて現われ方が違うので、次に各鹽基度別に分類して検討することとした。

i) 第Ⅰ類 $V_p < 1.25$ $V < 1.45$

この部類は紡錘状の Olivin 系 slag であるが、 MnO が高いと地の組織の暗色斑點が粗く現れ、マグネタイトの形が丸味を帶びて金米糖のように塊状になる。

又マグネタイトの析出量は FeO の多い程増加する。

寫真 9 は MnO , FeO の比較的高い試料であつて前に示した寫真 2 と比較すると地が粗く又マグネタイトの形が丸味を帶び且つその量を増していることが判る。

ii) 第Ⅱ類 $V_p 1.30 \sim 1.85$ $V 1.50 \sim 2.20$

この部類は灰色針状のメルビナイトが存在する所謂 Merwinite 系 slag であるが、 FeO , Fe_2O_3 , MnO 等の酸化物、特に MnO が著しく高い場合（約 20% 以上）には寫真 10 のように丸味を帶びた細長い共晶組織となつて、この部類の特徴であるメルビナイトや $2\text{CaO}\cdot\text{SiO}_2$ の粒状共晶やバラ花状共晶等が認められなくなる。

iii) 第Ⅲ類 $V_p 1.90 \sim 2.60$ $V 2.25 \sim 3.00$

この部類は暗色粒状の $2\text{CaO}\cdot\text{SiO}_2$ が主體を成す $2\text{CaO}\cdot\text{SiO}_2$ 系 slag であるが FeO , MnO 等の酸化物特に MnO が高くなると $2\text{CaO}\cdot\text{SiO}_2$ の粒状晶が次第に地に溶込んで共晶状となり、 MnO が約 20% になるとこの部類の特徴である $2\text{CaO}\cdot\text{SiO}_2$ の粒状組織は認められなくなる。

寫真 11 は MnO , FeO の比較的高い場合の例であつて、前に示した寫真 5 に比較すると $2\text{CaO}\cdot\text{SiO}_2$ の粒状晶の量が非常に減少して地に溶込んでいることが判る。若し更に MnO , FeO 等が高ければ寫真 10 のように全面に亘つて共晶組織となる。

iv) 第Ⅳ類 $V_p > 2.65$ $V > 3.10$

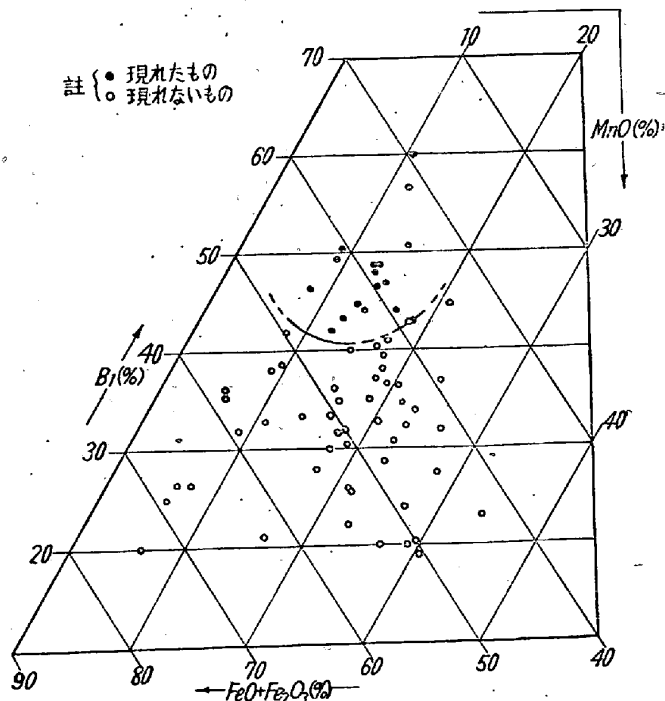
この部類は短冊型又は針状の $3\text{CaO}\cdot\text{SiO}_2$ が現われる所謂 tri-calcium-silicate 系 slag であるが V_p が 2.8 以上 ($V > 3.3$) になつてもこの部類の特徴である $3\text{CaO}\cdot\text{SiO}_2$ の黒色を呈した結晶が現われないで共晶状組織を示す場合がある。

そこで $3\text{CaO}\cdot\text{SiO}_2$ の短冊晶を現わさない條件について検討を行つた。

先づ鹽基度 V_p が 2.8~3.7 の範囲にある試料について、短冊晶の明瞭に現われたものと全然現われなかつたものに分類して、各成分について平均値の有意差検定を行つた處、短冊晶の現われなかつたものの方が CaO , MgO 及び Al_2O_3 が低く MnO 及び P_2O_5 が高いと云う結果を得た。然し各成分の間には相當高度の相關々係が存在しているので、何の成分が本質的に影響を及ぼしているか否かについては更に検討を要するものと考えられる。

a) 鹽基度, FeO 及び MnO の影響

第Ⅱ類までの組織に對しては鹽基度の他に FeO と MnO が可成り影響していたので、先づこれらの内何れが本質的に短冊晶の出現消滅に關係しているかを確めるため鹽基度- $(\text{FeO}+\text{Fe}_2\text{O}_3)-\text{MnO}$ の三元圖にプロットして検討することにした。三元圖にプロットするためには鹽基度の値として V_p 或は V を採つたのでは百 分率* が計算出来ないので、鹽基度を示す値として過剰鹽基 B_1^{**} を採ることにした。



第1圖 鹽基度 $B_1-(\text{FeO}+\text{Fe}_2\text{O}_3)-\text{MnO}$ 三元圖上に於ける $3\text{CaO}\cdot\text{SiO}_2$ 短冊晶の出現状況

* 計算の便宜上重量百分率をとつた。

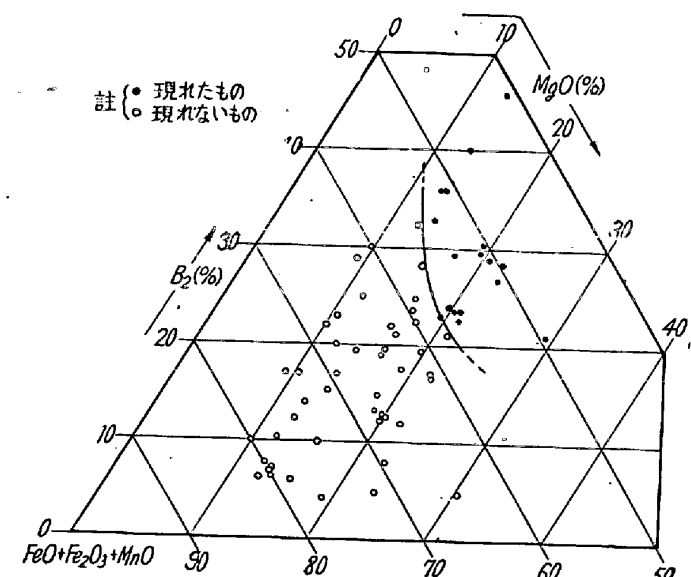
** SiO_2 は $3\text{CaO}\cdot\text{SiO}_2$ を、 P_2O_5 は $3\text{CaO}\cdot\text{P}_2\text{O}_5$ を形成しているものとし、又 MgO は一應鹽基として作用するものと見做して、次式によつて B_1 を計算した。 SiO_2 が $2\text{CaO}\cdot\text{SiO}_2$ を形成しているものとして計算しても以下に述べる傾向は全く同じであつた。

$$B_1 = \text{CaO} + \text{MgO} - 2 \cdot 8\text{SiO}_2 - 1 \cdot 18\text{P}_2\text{O}_5 \dots\dots (1)$$

プロットした結果は第1圖に示す通りであつて、鹽基度の高い時に短冊晶の現われること、 MnO 及び $(FeO + Fe_2O_3)$ の高い程短冊晶の現われ難くなることが判る。寫真 12 は鹽基度が充分高く MnO も低いにもかゝらず FeO 及び Fe_2O_3 が著しく高いために短冊晶が現われず共晶状となつたものであつて、フェライトの量が非常に多くなつてゐる。

b) MgO の影響

前項で藍基度及び MnO , FeO , Fe_2O_3 等の影響することが明かになつたので、 MgO の影響について検討する場合には、これらも同時に考慮に入れて検討しなければならないので、藍基度* $-(FeO+Fe_2O_3+MnO)-MgO$ 三元図にプロットすることにした。プロットした結果は第2図の通りであつて MgO は B_2 と殆んど同じ位の強さで共に短冊晶を出現させる方向に作用することが明らかとなつた。従つて前に述べた第1図で藍基度 B_1 を計算する場合に MgO を藍基性側に加えた(1)式によつたことは妥當であつた。



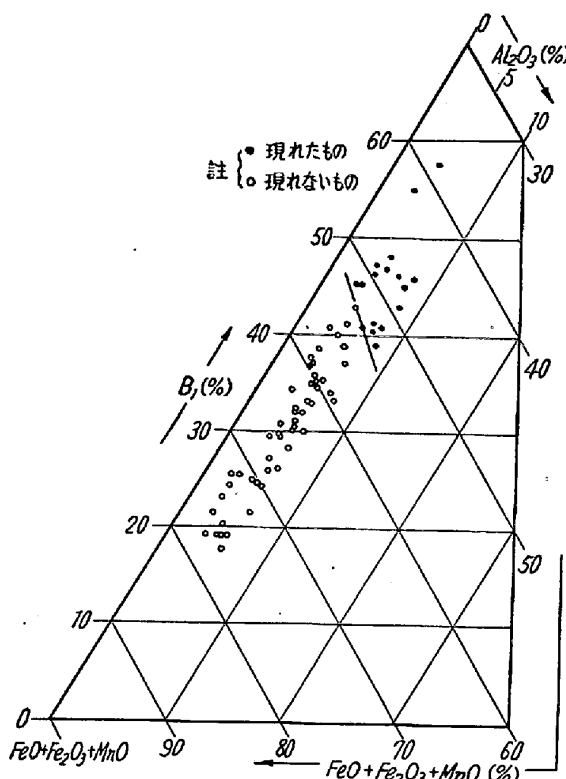
第2圖 鹽基度 $B_2 - (FeO + Fe_2O_3 + MnO) - MgO$ 三元
圖上に於ける $3CaO \cdot SiO_2$ 短冊晶の出現状況

c) Al_2O_3 の影響

Al_2O_3 の影響を調べるために、次に電気度 $B_1 - (\text{FeO} + \text{Fe}_2\text{O}_3 + \text{MnO}) - \text{Al}_2\text{O}_3$ 三元図上にプロットした結果は第3図の通りであつた。第3図から Al_2O_3 は殆ど影響していないことが判る。これは Al_2O_3 がすべて 2~3% の間にあつて變動の少いためであろう。

* MgO を一元として外に出すために B_2 の計算は次式によつた。

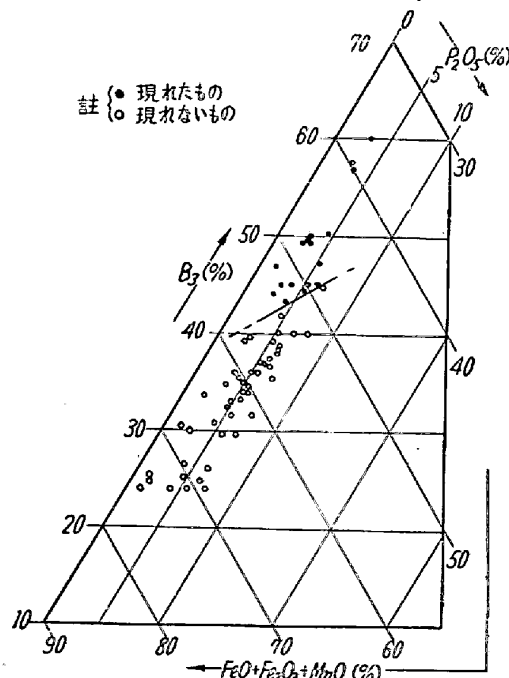
$$B_2 = CaO - 2 \cdot 8 SiO_2 - 1 \cdot 18 P_2O_5 \dots \dots \dots (2)$$



第3圖 鹽基度 $B_1 - (FeO + Fe_2O_3 + MnO) - Al_2O_3$ 三元圖上に於ける $3CaO \cdot SiO_2$ 組成品の出現範囲

d) P_2O_5 の影響

同様に P_2O_5 の影響を調べるために、腐熟度 B_2^* -



第4図 鉄基度 $B_3 - (FeO + Fe_2O_3 + MnO) - P_2O_5$ 三元
図上に於ける $3CaO \cdot SiO_2$ 短冊晶の出現範囲

P_2O_5 の影響をみるとために、腐基度 B_1 から P_2O_5 の項を除いた式によつて B_3 を計算した。

$(\text{FeO} + \text{Fe}_2\text{O}_3 + \text{MnO}) - \text{P}_2\text{O}_5$ 三元圖上にプロットした。その結果は第4圖に示す通りであつて、 P_2O_5 が 1~4% の狭い範囲にあつたこととデータの少いために餘り明瞭ではないが、 P_2O_5 は短冊晶を現われ難くする傾向がある。従つて塩基性平爐鋼滓の組織を論ずる場合には塩基度として B_1 , B_2 或は V_p の如く、 P_2O_5 を考慮に入れた値を採用すべきであると思われる。

以上の検討によつて、 $3\text{CaO} \cdot \text{SiO}_2$ の短冊晶は塩基度が高くなれば現われることは當然であるが、更に含有成分によつても影響され、 MnO , FeO , Fe_2O_3 及び P_2O_5 の高い時には現われ難くなり MgO の高い時には現われ易いと云う結論が得られた。

(3) 組織と成分の関係の總括

i) 分類圖

以上に検討した結果を $\text{CaO} - (\text{SiO}_2 + \text{P}_2\text{O}_5) - (\text{FeO} + \text{Fe}_2\text{O}_3 + \text{MnO})$ の三元圖上に於て示すと第5圖に示す通りであつて、塩基度によつて明瞭に區分されているが、第II乃至第IV類を通じて FeO , Fe_2O_3 , MnO 等の酸化物が著しく高くなると、各類の特徴ある組織を現わさないで共晶状になつていくことが判る。然し共晶状となつても塩基度によつてその形態に差異があるので相互に區別は出来る。

ii) 分類表

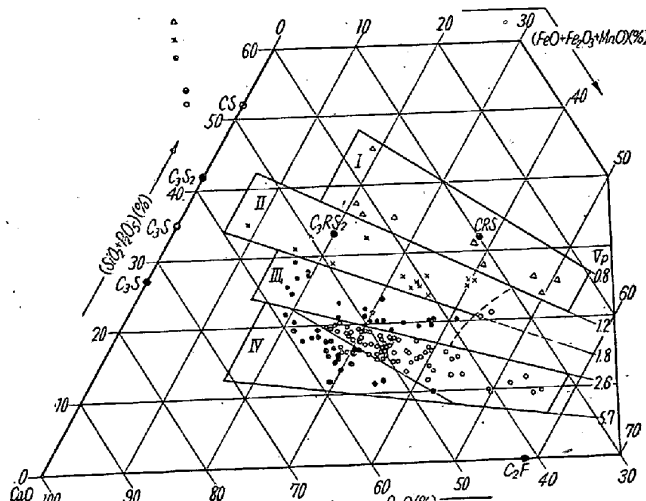
第4表は調査結果を總括して表示したものである。

IV. 反射顕微鏡組織による判定精度

以上に述べた調査結果によつて塩基性平爐鋼滓の反射顕微鏡組織は塩基度及び FeO , Fe_2O_3 , MnO 其他の含有成分の變化に對應して順次に變化することが明かになつた。従つて豫め標準試料を準備しておけば、これと比較することによつて未知試料の成分が推定出来る。

第6圖は縦軸に組織から推定した V_p の値を探り、横軸には同一試料を化學分析して求めた V_p の値が探つてある。第6圖によれば V_p が 2.5 以下 (V 約 3.0 以下) の範囲では 0.1 位の誤差内で、 V_p が 2.5 以上に於ては稍精度が落ちて 0.2 位の誤差内で塩基度を判定し得ることが判る。 FeO , MnO 等の量についても或程度の判定は可能である。勿論判定精度は標準試料の數にもよるが、この程度の精度であれば實用上差支ないと考える。

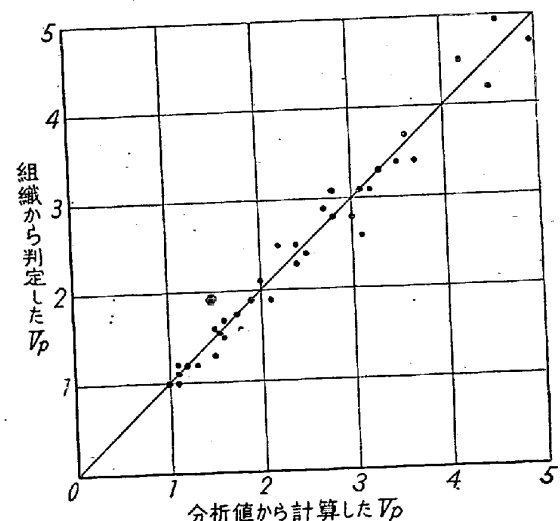
前述したように、鋼滓の組織は塩基度以外の成分によつても影響を受けるが、これ等の成分は各工場毎に異なるので判定精度を上げるために各工場毎に、要すれば操業條件を異にする鋼種毎に標準試料を準備することが望ましい。



- I: 第I類 Olivin 系 slag △
- II: 第II類 Merwinite 系 slag ×
- III: 第III類 $2\text{CaO} \cdot \text{SiO}_2$ 系 slag ●
- IV: 第IV類 $3\text{CaO} \cdot \text{SiO}_2$ 系 slag ○
- 短冊晶の現われたもの ◎
- 短冊晶の現れないもの ○

CS: $\text{CaO} \cdot \text{SiO}_2$, C_2S : $.8\text{CaO} \cdot 2\text{SiO}_2$
 C_3S : $2\text{CaO} \cdot \text{SiO}_2$, C_3S : $3\text{CaO} \cdot \text{SiO}_2$
 CRS : $\text{CaO} \cdot \text{RO} \cdot \text{SiO}_2$, C_3RS_2 : $3\text{CaO} \cdot \text{RO} \cdot 2\text{SiO}_2$
 C_2F : $2\text{CaO} \cdot \text{Fe}_2\text{O}_3$

第5圖 $\text{CaO} - (\text{SiO}_2 + \text{P}_2\text{O}_5) - (\text{FeO} + \text{Fe}_2\text{O}_3 + \text{MnO})$ 三元圖に依る塩基性平爐鋼滓の分類



第6圖 顯微鏡組織から判定した塩基度と、化學分析値から計算した塩基度の比較

V. 結 言

以上に述べたように、塩基性平爐鋼滓の反射顕微鏡組織は塩基度によつて大體四種類に類別され、各類別内に於ては更に塩基度と他の含有成分の高低に従つて變化す

第4表 鹽基性平爐渣の反射顯微鏡組織の總括

| 類別 | I | II | III | IV |
|--------|--|--|--|--|
| 鹽基度 | Vp <1.25 | 1.30~1.85 | 1.90~2.60 | >2.65 |
| | V <1.45 | 1.50~2.20 | 2.25~3.00 | >3.10 |
| 組 織 | Olivin系slag Vp<1では幅広く平行した紡錘状の地。 Vp>1ではVpの高い程細くなり方向性を失う。 マグネタイトは白色の樹枝状に析出しているが、MnOが高いと金糸状に丸くなり、FeOが高いと析出量を増す。 尚MnOが高いと地が粗くなる。 | Merwinite系slag 灰色針状のメルビナイトが現れる。地はメルビナイト $2\text{CaO}\cdot\text{SiO}_2$ 、マグネタイト等から成るバラ花状共晶。 Vpが高くなる程メルビナイトは減少して $2\text{CaO}\cdot\text{SiO}_2$ の粒状品が増加する。 マグネタイトは第I類のようにには発達しない。 FeO, Fe_2O_3 , MnO, 特にMnOが著しく高い時は細長く丸味のある共晶状組織となる。 | Dicalcium-silicate系slag 暗色粒状で劈開面を有する $2\text{CaO}\cdot\text{SiO}_2$ が主である。地は管葉状の共晶。 Vpが高くなる程 $2\text{CaO}\cdot\text{SiO}_2$ の粒状品は少くなり、地に溶けて共晶状となる。 メルビナイトは全然現れない。FeO, Fe_2O_3 , MnO特にMnOが著しく高い時は共晶状となつて粒状品は現れない。 MgOが著しく高いと多角形のペリクレーズが認められる。 | Tricalcium-silicate系slag Vp<2.8では共晶状であるがVp>2.8では黒色針状乃至短冊状の $3\text{CaO}\cdot\text{SiO}_2$ が現れ、Vpが高くなる程増加する。 MnO, P_2O_5 が高いと短冊品が出難くなり、鹽基度MgOが高いと出易くなる。 MgOが著しく高いとペリクレーズが現れ、CaOが著しく高い時には石灰の認められることがある。 フェライトの量は $(\text{FeO} + \text{Fe}_2\text{O}_3)$ の量に比例する。 |
| | | | | |

るものである。従つて豫め標準試料を準備しておけば、これと比較することによつて未知試料の成分が推定出来、その判定精度は鹽基度Vpが2.5以下の範囲では約0.1の誤差で、又Vpが2.5以上では約0.2の誤差で鹽基度の判定が可能である。FeO, MnO等についても或程度の判定は出来る。

判定に要する時間は10分以内であり、特に複雑な装置や技術を必要としないから、充分現場的に利用することが出来る。

上述した鹽基度による類別や、各類別内に於て鹽基度や含有他成分により影響を受ける状況が、スラグパンケーキの外観の場合と多少異つてゐるから、兩者を併用して、パンケーキテストによつて大體の見當をつけた後にその破面を研磨して検鏡すれば精度が向上し、種々の情報が得られる。

終りに臨み本研究の遂行に當り種々御援助を賜つた日本钢管川崎製所技術研究所の分析係、第一冶金係、久保田技師及び試験課の齊藤、松本兩技師に深甚なる謝意を表する次第である。(昭和27年12月寄稿)

文 献

- T. M. Ferguson: Iron and Coal Trade Rev., 130 (1935) 170. Cf. Stahl u. Eisen, 55 (1935) 933

- W. J. McCaughey: A. I. M. E., Open Hearth Proceedings, 21 (1938) 167
- E. C. Smith: Trans. A. I. M. E., 116 (1935) 8
- J. T. Singewald: Trans. A. I. M. E. Open Hearth Proceedings 19, (1936) 219
- J. L. Mauth and K. I. Fetters: Year Book, Am. Iron and Steel Inst, (1947) 264
- C.R. Funk: Blast F'ce. Steel Plant, 35 (1947) 1940
- C. R. Funk: Blast F'ce. Steel Plant, 36 (1948) 539
- 松浦: 鐵と鋼, 29 (1941) No. 6, 508
- M. Tennenbaum and T. L. Joseph: Iron Age, (1941) Feb. 27 p. 62
- M. Tennenbaum: Blast F'ce. Steel Plant, 29 (1941) 403, 407, 552, 545, 551
- W. O. Phillbrook and A. H. Jolly Jr.: Blast F'ce. Steel Plant, 32 (1944) 793, 938
- N. T. Grant and J. Chipman: Year Book, Am. Iron and Steel Inst, (1949) 469
- 渡邊, 大江: 學振 19 委 (1951) No. 2543